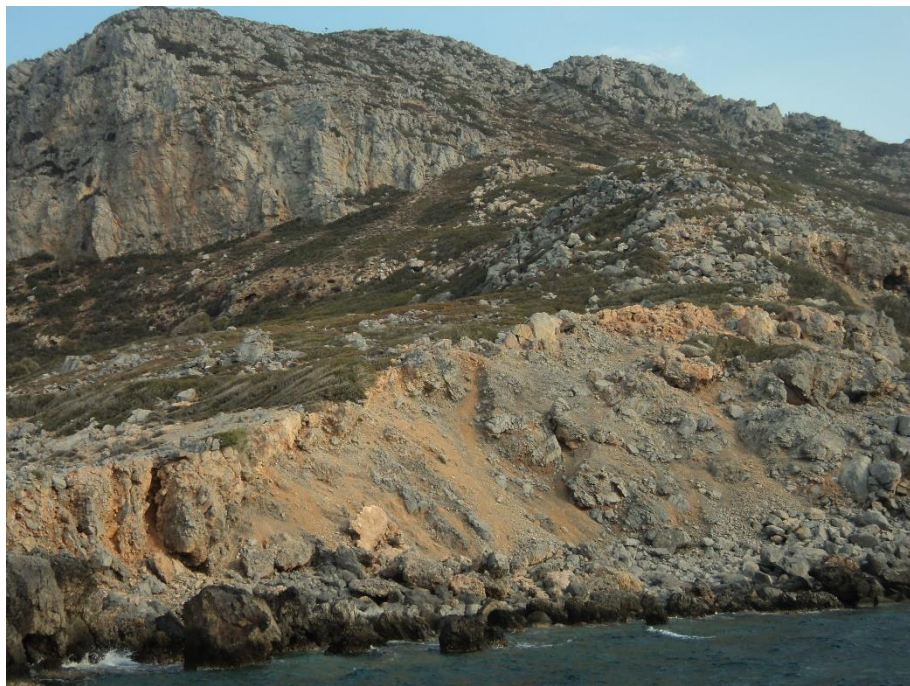




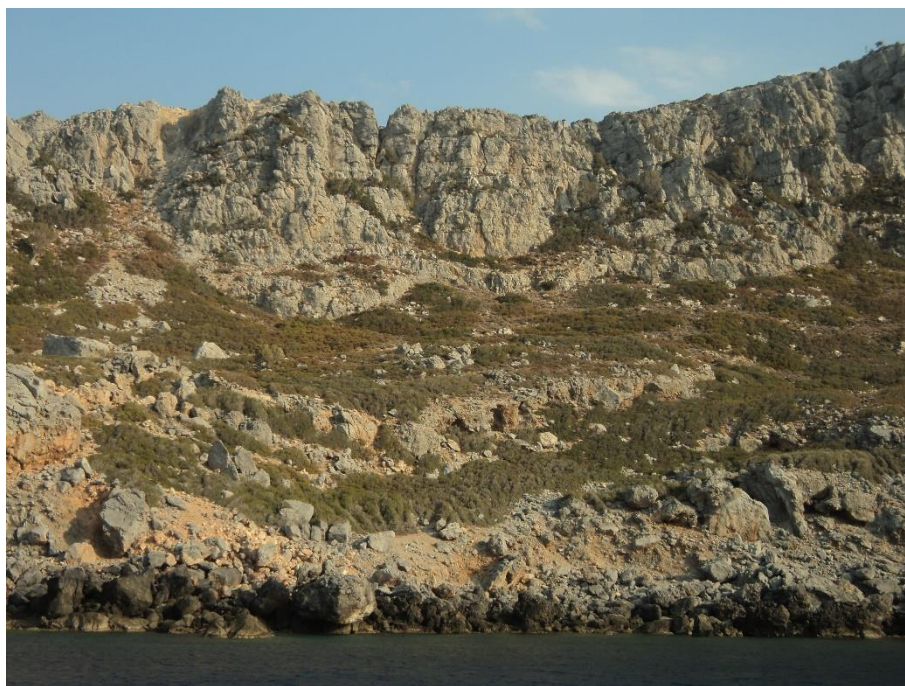
Θέση 1. Άποψη των συμπαγών κορημάτων (sc1) και των ρηξιγενών κρημνών των δολομιτών (dm) στο βάθος.



Θέση 2. Άποψη των συμπαγών κορημάτων (sc1) και των ρηξιγενών κρημνών των δολομιτών (dm) στο βάθος.



Θέση 3. Άποψη των συμπαγών κορημάτων (sc1) και των ρηξιγενών κρημών των δολομιτών (dm) στο βάθος.



Θέση 4. Άποψη των συμπαγών κορημάτων (sc1) και των ρηξιγενών κρημών των δολομιτών (dm) στο βάθος. Στη μέση του φυσικού πρσανούς διακρίνονται χαρακτηριστικές αβαθείς σπηλαιώσεις εντός των κορημάτων που ενδεχομένως να αποτελούν ένδειξη παλαιάς ακτογραμμής.



Θέση 5. Άποψη των κορημάτων (sc) κατά μήκος της παράκτιας ζώνης. Τα κορήματα στη βάση τους παρουσιάζονται συμπαγή (sc1), ενώ στα ανώτερα σημεία χαλαρά και ιλυοαμμώδη (sc2).



Θέση 6. Άποψη των συμπαγών κορημάτων (sc1) κατά μήκος της παράκτιας ζώνης.



Θέση 7. Άποψη των συμπαγών κορημάτων (sc1) κατά μήκος της παράκτιας ζώνης.



Θέση 8. Άποψη μορφολογικών «σκαλοπατιών» που διαμορφώνονται από τη διέλευση των ρηγμάτων που διαχωρίζουν τους δολομίτες (dm) από τα κορήματα (sc1).



Θέση 9. Άποψη των συμπαγών κορημάτων (sc1) κατά μήκος της παράκτιας ζώνης. Τα κορήματα έχουν εισχωρήσει εντός των δολομιτών (dm).



Θέση 10. Άποψη των δολομιτών (dm) κατά μήκος της παράκτιας ζώνης.



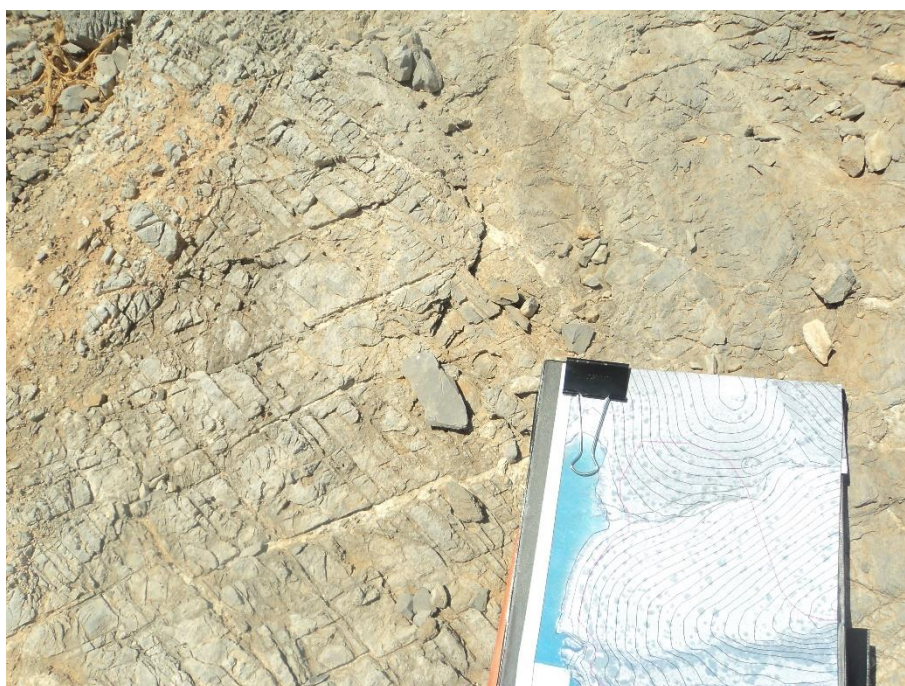
Θέση 11. Άποψη νεοτεκτονικού ρήγματος. Το ανερχόμενο τμήμαχος του δομείται από δολομίτες (dm) και το κατερχόμενο από ασύμφωνα ημισυνεκτικά κορημάτα (sc2) με χαλίκια, λατύπες και ογκόλιθους δολομιτών.



Θέση 12. Άποψη των συμπαγών κορημάτων (sc1).



Θέση 13. Άποψη των κορημάτων εντός του ρέματος (sc2).



Θέση 14. Άποψη των δολομιτών (dm).



Θέση 15. Άποψη έντονα παραμορφωμένων δολομιτών (dm) κατά μήκος ρήγματος.



Θέση 16. Άποψη ρήγματος που διαχωρίζει τους δολομίτες (dm) από τα κορήματα (sc2).



Θέση 17. Άποψη των κορημάτων (sc1).



Θέση 18. Άποψη των κορημάτων (sc1).



Θέση 19. Άποψη των κορημάτων (sc1). Κατά θέσεις εντός των κορημάτων παρατηρούνται σπηλαιώσεις που ενδεχομένως να σηματοδοτούν παλαιές γραμμές ακτών.



Θέση 20. Άποψη των κορημάτων (sc1).



Θέση 21. Αποψη ογκολίθων, οι οποίοι έχουν αποκολληθεί από τον υψηλό ρηξιγενή κρημό και έχουν σταθεροποιηθεί σε διάφορες θέσεις κατόντη του φυσικού πρανούς.



Θέση 22. Αποψη της τεκτονικής επαφής των δολομιτών (dm) με τους αργιλικούς σχίστες (sh) του Τυρού.



Θέση 23. Άποψη του ρήγματος που διαχωρίζει τους πλακώδεις ασβεστόλιθους (Mz.m) από τους αργιλικούς σχίστες (sh) του Τυρού.



Θέση 24. Άποψη του κατόπτρου του ρήγματος που διαχωρίζει τους πλακώδεις ασβεστόλιθους (Mz.m) από τους αργιλικούς σχίστες (sh) του Τυρού.



Θέση 25. Άποψη της ασυμφωνίας που διαχωρίζει τα κορήματα (sc2) από τους αργιλικούς σχίστες (sh) του Τυρού.



Θέση 26. Άποψη των αργιλικών σχιστών (sh) του Τυρού.



Θέση 27. Άποψη της ασυμφωνίας μεταξύ των αργιλικών σχιστών (sh) του Τυρού και των κορημάτων (sc2).



Θέση 28. Άποψη των κατώτερων δολομιτών (dm2).



Θέση 29. Άποψη του ρήγματος που διαχωρίζει τους πλακώδεις ασβεστόλιθους (Mz.m) από τους κατώτερους δολομίτες (dm2), όπως αποκαλύπτεται κατά μήκος της παράκτιας ζώνης. Παρατηρείται απουσία κορημάτων στο μέτωπο του ρηξιγενούς κρημού.



Θέση 30. Άποψη της τεκτονικής αποκόλλησης μικρής κλίσης που διαχωρίζει τους αργιλικούς σχίστες (sh) του Τυρού από τους κατώτερους δολομίτες (dm2), όπως αποκαλύπτεται κατά μήκος της παράκτιας ζώνης.



Θέση 31. Άποψη της νοτιοδυτικής πλαγιάς. Όψη προς ΑΝΑ. Η πλαγιά δομείται από ένα λεπτό κάλυμμα κορημάτων που καλύπτουν ασύμφωνα τους κατώτερους δολομίτες (dm2), τους αργιλικούς σχίστες (sh) του Τυρού και τους δολομίτες (dm).



Θέση 32. Άποψη της τεκτονικής αποκόλλησης που διαχωρίζει τους δολομίτες (dm) από τους αργιλικούς σχίστες (sh) του Τυρού.

**ΠΑΡΑΡΤΗΜΑ ΦΩΤΟΓΡΑΦΙΚΗΣ ΤΕΚΜΗΡΙΩΣΗΣ
ΘΕΣΕΩΝ ΧΑΡΤΗ ΠΛΗΡΟΦΟΡΗΣΗΣ**